

10;12

## КОАКСИАЛЬНАЯ ЦИЛИНДРИЧЕСКАЯ ЛИНЗА

(© Л.П.Овсянникова, Т.Я.Фишкова

Коаксиальные электростатические линзы находят применение в плазмооптических и транспортирующих системах, в манометрических приборах и т. п. Их достоинством является большая оптическая сила и простота конструкции. Фокусирующие свойства этих линз исследовались в целом ряде работ (см., например, [<sup>1-3</sup>]). Однако до настоящего времени не проведено их полного исследования. Так, не были найдены режимы фокусировки "точка в точку", представляющие большой практический интерес.

Данная работа посвящена коаксиальным цилиндрическим линзам (КЦЛ) с торцевыми диафрагмами (рис. 1). Нами было показано ранее, что в приторцевой области заряженные частицы двигаются равнозамедленно. Поэтому поле линзы можно аппроксимировать эффективным прямоугольником, длина которого меньше длины самой линзы. При этом на входе и выходе из эффективного поля меняется только энергия частиц, а направление движения остается неизменным. Распределение потенциала КЦЛ можно представить в следующем виде:

$$\Phi = 2(V/\pi)\sqrt{R_2/r_a} \left\{ A_1 + A_2 \pi(r - r_a)/l + \right. \\ \left. + 1/2 A_3 (\pi/l)^2 [(r - r_a)^2 - z^2] \right\}, \quad (1)$$

где

$$A_1 = \operatorname{arctg} \{ \operatorname{sh}^{-1} [\pi(R_2 - r_a)/l] \} - P \operatorname{sh} [\pi(R_2 - r_a)/l],$$

$$A_2 = \operatorname{ch}^{-1} [\pi(R_2 - r_a)/l] + P \operatorname{sh} [\pi(R_2 - r_a)/l] - A_1 l / (2\pi r_a),$$

$$A_3 = \{ \operatorname{ch}^{-2} [\pi(R_2 - r_a)/l] - P \} \operatorname{sh} [\pi(R_2 - r_a)/l],$$

$$P = 4 \{ \exp[2\pi(R_2 - R_1)/l] - 1 \}, \quad r_a = r_0 + r'_0(1 - k)l/2.$$

Здесь  $R_1$  и  $R_2$  — радиусы внутреннего и внешнего цилиндрических электродов,  $l$  — расстояние между торцевыми электродами,  $kl$  — эффективная длина линзы. Через  $r_0$  и  $r'_0$  обозначены значения координат и тангенсов углов наклона траекторий в плоскости входной диафрагмы. Торцевые электроды и внутренний цилиндрический электрод заземлены, потенциал внешнего цилиндра равен "V".

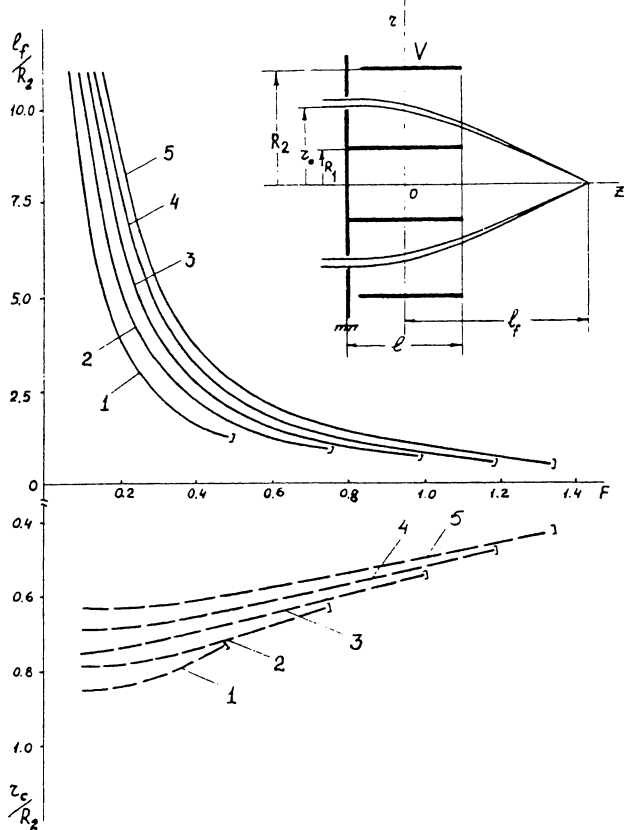


Рис. 1. Расстояния от средней плоскости до точки пересечения оси для КЦЛ с параллельным пучком на входе (сплошные кривые) и начальные координаты входа центральной траектории пучка (штриховые кривые) в зависимости от возбуждения КЦЛ длиной  $l = R_2$  при изменении  $r_2/R_1$ : 1 —  $R_2/R_1 = 2$ ; 2 — 3; 3 — 5; 4 — 10; 5 — 30.

В таком поле уравнение движения заряженных частиц интегрируется. Тогда для параллельного на входе в линзу пучка траектория и ее угол наклона вне эффективного поля будут определяться следующими выражениями:

$$r = r_a - A_2(\pi A_3)^{-1}(ch\gamma - 1)l + r'(z - kl/2), \quad r' = -A_2\sqrt{N/(\pi A_3)}sh\gamma, \quad (2)$$

где

$$\gamma = 2 \operatorname{arctg}(\sqrt{\pi N A_3} k/2), \quad N = eV \sqrt{R_2/r_a}/(\epsilon - e\Phi_a).$$

Здесь  $N$  — сила КЦЛ,  $\epsilon$  — энергия частиц в свободном от поля пространстве,  $\Phi_a$  — значение потенциала на входе в

эффективное поле линзы, полученное из (1) при  $r = r_c$  и  $z = 0.5(k - 1)l$ . Протяженность эффективного поля линзы зависит от ее геометрии и определение этой зависимости требует дополнительных расчетов.

Анализ результатов исследования КЦЛ показал, что при отклонении частиц к оси фокусировка "точка в точку" происходит только вокруг определенной траектории со входной координатой  $r_0 = r_c$  в диапазоне изменения входных координат  $\Delta r_0$ , определяемом требуемым размером кроссовера. В качестве примера нами были рассчитаны параметры КЦЛ, у которой  $R_2/R_1 = 5$ ,  $l = R_2$ , при изменении отношения разности потенциалов между электродами к энергии заряженных частиц. Величину  $F = eV/\epsilon$  в дальнейшем будем называть возбуждением КЦЛ. При  $F = 0.5$  и  $r_c = 0.55R_2$  параллельный пучок размером  $\Delta r_0 = 0.03R_2$  фокусируется в точку на оси линзы на расстоянии  $l_f = 2.50R_2$ , отсчитываемом от средней плоскости линзы. Отличие результатов расчета траекторий по аналитическим формулам и численных составляло не более 8%.

Расчеты по аналитическим формулам показали, что КЦЛ с торцевыми электродами при определенных начальных условиях может фокусировать пучки заряженных частиц на ось. Однако, в то время как торцевой электрод на входе необходим в качестве вырезывающей кольцевой пучок диафрагмы, второй торцевой электрод на выходе также с кольцевой щелью усложняет конструкцию системы.

Нами проведен численный расчет на компьютере КЦЛ с открытым задним торцом, показавший наличие фокусировки пучка на ось, причем качество последней не хуже, чем у КЦЛ с закрытым задним торцом.

На рис. 1 приведена зависимость положения фокуса КЦЛ (сплошные кривые), отсчитываемого от средней плоскости линзы, от ее возбуждения. Длина линзы  $l = R_2$ , а соотношение радиусов менялось в широком диапазоне  $R_2/R_1$ , действие КЦЛ на пучок заряженных частиц становится слабее. Следует отметить, что для каждого значения параметра  $R_2/R_1$  существует свое максимальное возбуждение линзы, обеспечивающее минимальное расстояние до точки пересечения оси системы параллельным на входе пучком  $(l_f)_{\min}$ , отмеченное на рисунке скобочкой. При большем возбуждении такой пучок садится на внутренний цилиндр. Чем больше  $R_2/R_1$ , тем меньше величина  $(l_f)_{\min}$  может быть достигнута.

На основании обработки численных расчетов пучка заряженных частиц с различной энергией найдена простая эмпирическая формула для коэффициента хроматической aberrации КЦЛ, длина которой равна радиусу внешнего

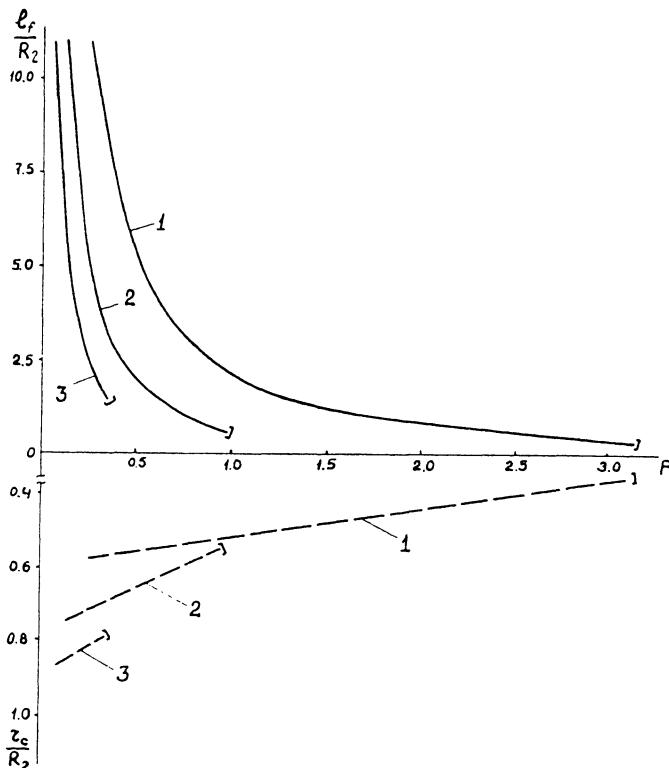


Рис. 2. То же, что на рис. 1 для КЦЛ с  $R_2/R_1 = 5$  при изменении ее длины  $l$ : 1 —  $l/R_2 = 0.5$ ; 2 — 1.0; 3 — 2.0.

цилиндра:

$$C/R_2 = 0.5[1 + \ln(R_2/R_1)]/F. \quad (3)$$

При  $R_2/R_1 \leq 10$  отличие результатов, полученных по этой формуле, от численных расчетов не превышает 15%; при  $R_2/R_1 = 30$  это отличие составляет 30%.

Результаты численных расчетов фокусировки параллельного пучка КЦЛ различной длины  $0.5 \leq l/R_2 \leq 2.0$  при  $R_2/R_1 = 5$  приведены на рис. 2. Сплошные кривые относятся к положению фокуса, штриховые — к координате входа центральной траектории пучка. С ростом длины линзы величина ее возбуждения уменьшается для одних и тех же положений фокусов при одновременном росте входной координаты, что обеспечивает большую светосилу за счет возрастания площади входного кольца. Однако при этом увеличивается минимально достижимое расстояние до точки пересечения

$f/R$	КЦЛ $R_2/R_{1=2}$ $F$	КЛ	ОЛ	ОЛ
		$F$	$F$	$-F$
2	0.34	1.0	—	0.96
3	0.24	0.67	9.0	0.86
5	0.17	0.40	2.6	0.75
10	0.09	0.20	1.4	0.60

пучком оси  $(l_f)_{\min}$ . Во всех приведенных выше режимах работы КЦЛ качество фокусировки параллельного на входе пучка определялось размером кроссоветра на оси в радиальном направлении ( $r_f$ ), который составлял  $r_f \leq 10^{-3} R_2$  при ширине входного кольца  $\Delta r_0 = 0.03 R_2$ .

Представляет интерес сравнить КЦЛ с широко распространенными электростатическими осесимметричной (ОЛ) и квадрупольной (КЛ) линзами. Из большого количества ОЛ выбрана наиболее часто используемая одиночная линза из трех последовательно расположенных цилиндров одинакового диаметра. В таблице приведены возбуждения этих линз, обеспечивающие равные фокусные расстояния, отсчитываемые от средней плоскости (у КЦЛ это параметр  $l_f$ ), для линз с одинаковыми радиусами апертур  $R$  (для КЦЛ  $R = R_2$ ) и одинаковыми длинами  $l = R$  (для ОЛ  $l$  — длина среднего электрода с потенциалом  $\pm V$ , крайние электроды заземлены).

Из таблицы видно, что коаксиальная линза сильнее действует на пучки заряженных частиц, чем осесимметричная и квадрупольная линзы. Кроме того, при одинаковых размерах кроссовера в фокальной плоскости  $r_f = (1 \div 3)10^{-3} R$  светосила КЦЛ превышает светосилу квадрупольной линзы в 2 раза, а осесимметричной в 1.5 раза при условии равномерного распределения по углу начальной интенсивности пучка.

Следует отметить, что у коаксиальной линзы перед квадрупольной имеются два еще более существенных преимущества: простота конструкции и наличие режима фокусировки "точка в точку", в то время как КЛ  $\Theta$  фокусирует точку в линию.

В дальнейшем будут рассчитаны нагрузочные характеристики КЦЛ в широком диапазоне изменения геометрических параметров, а также исследованы транспортирующие системы из них.

## Список литературы

- [1] Овсянникова Л.П., Пасовец С.В. // ЖТФ. 1987. Т. 57. В. 12. С. 2351–2354.
- [2] Krejcik P., King B.V., Kelly I.C. // Optic. 1980. V. 55. P. 385–393.
- [3] Ovsyannikova L.P., Pasovets S.V., Shpak E.V. // Nucl. Instr. Meth. A298. 1990. P. 344–348.

Физико-технический институт  
им. А.Ф. Иоффе РАН  
С.-Петербург

Поступило в Редакцию  
18 июня 1996 г.

---